

# 生成トリップ分布モデルに関する研究

九州大学工学部 学生員 ○ 河野雅也  
九州大学工学部 正員 橋本武

## 1. はじめに

交通需要予測の標準的な手法は、集計モデルをもちく4段階推定法であり、近年の研究を経て十分実用能耐えらる多くのモデルが得られている。このモデルは、ゾーン単位に集計された諸指標を確定的に処理する点で大きな特色を有するものがあり、交通現象の平均的な状況を把握する上で極めて有効である。しかし、交通現象は個人な交通行動が集積したものであり、様々な行動様式の集合体であるといえ、本質的には確率現象として把握すべき内容のものであるといえる。従来からの確率現象という観点で交通需要予測理論を確立する試みが行われてきたが、未だ十分実用が供するものがないといえる。そこで、本研究では交通需要予測システムおよび予測モデルについて、実用が供するものに留意しながら、確率論の立場から検討し、体系化を図らんとするものとし、その基本理念はすでに文献(1)で報告したところである。ここでは先づこれらを通じて、交通需要予測の枠内規定する生成交通量予測モデルについて検討を加えるものである。すなわち、生成交通量を確率論的に論ずることは、生成トリップ数の確率分布(以下、生成トリップ分布という)を対象に議論を展開することである。交通発生主体者である個人は、個々々々有する社会的・経済的背景や行動原理もそれぞれ異なり、ある個人が一日に何回トリップするかは、生起確率の問題として扱われることになる。そこで、まず10年間のトリップ調査結果をもとに、生成トリップ分布の変動がどのような個人属性により影響を受けるかを分析し、その上で個人属性の変化を通じて将来の社会経済変化に伴う動的な反映されることと生成トリップ分布のモデルを構築することを考えてみるものがある。

## 2. 生成トリップ分布の特性

昭和47年北部九州圏パーソナルトリップ調査データを基に、生成トリップ分布の特性について検討する。圏域全体を対象に生成トリップ分布を描けば、図-1のとおりである。図は11トリップまで記入されており、最大生成トリップ数は30である。図から読みとれる主な特色はつぎの通りであり、その第1点は、2トリップの占める割合が約60%と著しく大きいことである。この点から、様々な交通行動様式の中で、最も多いパターンは、「行つて、帰る」という単純なものであることを示している。第2点は、全体の分布がトリップ数の奇数、偶数の2つの分布の複合として把握できることであり、これを奇数トリップ分布および偶数トリップ分布と呼ぶことになる。この分布は、ポアソン分布や2項分布に似た形状であるが、先づこれを仮定して、図から推定および適合度検定による分布型と適合度検定を実施した結果、両分布はともに周知の離散型理論分布に従うといえないことが判明した。すなわち、両分布ともそれぞれ異なる、2項分布型であり、また、奇数トリップ分布の方がより2項分布に近いものがあるといえる。第3点は、偶数トリップと奇数トリップの量的関係で、偶数トリップの方がはるかに多く、87%を占めることである。以上が大きな特色であるが、その他に注目すべきことは、0トリップである。0トリップが全体に占める割合は9%であり、これは2トリップ、4トリップに次ぎる着目すべき値である。0トリップは従来外出率として処理され、ネット原単位とグロス原単位との変換に用いられているところであるが、図の生成トリップ分布を見るとき、この点に特別に取り出して扱うよりも、他の生成トリップ

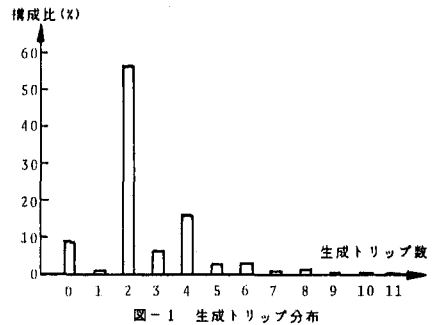


図-1 生成トリップ分布

同じレベルで扱う方が自然であるを判断できる。

次に北九州圏を地域に分割し、生成トリップ分布が地域により変化するかどうかを検討しよう。地域分割は、各地域が占める全トリップ数の大きさを生じず、都市地域と周辺地域とを比較対照できることを考慮し、福岡市、北九州

市および両市を除く地域とした。各地域が占めるトリップ総数の構成比は、北小を北33.5%、28.8%、および37.7%である。表-1は、各地域におけるトリップ数をもとに生成トリップ分布の諸統計量を要約したものである。この表から地域における分布の諸特性間に有意な差は認められず、若くは全域の結果とほぼ同じであるといえる。また、分布パターン類似性も検討するため、トリップ構成比をもとに生成トリップ分布に関する分布型均斉性検定を行なった。検定は、 $\chi^2$ 検定とKS検定の2つを併用したが、両検定において4地域分布パターンは同じであることが示される結果が得られた。以上を考察を踏まえれば、生成トリップ分布は地域間で差はなく、したがってこのモデルを構築する際には地域性を考慮する必要はないといえる。

表-1 生成トリップ分布の諸統計量

統計量	福岡市	北九州市	その他	全地域
平均	2,666	2,657	2,784	2,708
標準偏差	1,882	1,795	2,038	1,915
歪度	2,519	2,614	2,445	2,530
尖度	13,239	16,498	13,644	14,511
1トリップ構成比	86.7	87.1	87.6	87.2
2トリップ構成比	58.8	59.2	52.9	56.7

3. 交通目的から見たトリップパターン

前節ではトリップ数を対象とした2つの分析を展開したが、この際各トリップ数は均質であるという暗黙の仮定が設けられている。しかしながら、0から最大36までのトリップ数すべてが同質の内容を有しているとは考えられず、したがって前述の2つの分析に加え、トリップの内容を議論する2つの分析も行なう必要があると思われる。そこで、トリップ数大小によるトリップ特性の差異を明らかにするため、トリップパターンに関する分析を試みた。トリップパターンの捉え方は、いくつかの方法が考えられるが、ここでは交通目的に着目した場合のトリップパターンを対象としている。この際、用いた交通目的とは内容説明を示せば、表-2のとおりである。なお、対象とするトリップ数は、累積相対度数が95.9%である6トリップまでとした。

### 3. 交通目的から見たトリップパターン

前節ではトリップ数を対象とした2つの分析を展開したが、この際各トリップ数は均質であるという暗黙の仮定が設けられている。しかしながら、0から最大36までのトリップ数すべてが同質の内容を有しているとは考えられず、したがって前述の2つの分析に加え、トリップの内容を議論する2つの分析も行なう必要があると思われる。そこで、トリップ数大小によるトリップ特性の差異を明らかにするため、トリップパターンに関する分析を試みた。トリップパターンの捉え方は、いくつかの方法が考えられるが、ここでは交通目的に着目した場合のトリップパターンを対象としている。この際、用いた交通目的とは内容説明を示せば、表-2のとおりである。なお、対象とするトリップ数は、累積相対度数が95.9%である6トリップまでとした。

表-2 交通目的とその内容<sup>2)</sup>

交通目的	トリップの内容
1. 通勤	勤務先への出勤トリップ
2. 通学	通学先への通学トリップ
3. 業務1	販売・配達、作業・修理、打合せ・会議等の業務トリップ
4. 業務2	農耕・漁業作業のためのトリップ
5. 私用1	買物、社交・娯楽、食事、レクリエーション等のトリップ
6. 私用2	私事・用務等のトリップ
7. 帰宅1	通勤、通学先からの帰宅トリップ
8. 帰宅2	帰宅1を除くすべての帰宅トリップ

トリップ(0.9%:総トリップ数中)に占める割合、以下同じ)は、以下でもなく、トリップの起終点も一致しない非完結型トリップであるが、表-3に示すように40%が通勤であり、帰宅も16.6%と、この2つを本命と越している。

表-3 1トリップのパターン

パターン	構成比(X)
1. 通勤	40.0(40.0)
2. 帰宅1	16.6(56.6)
3. 私用2	14.1(70.7)
4. 帰宅2	12.9(83.6)
5. 私用1	8.5(92.1)
6. 業務1	5.3(97.4)
7. 通学	2.2(99.6)
8. 業務2	0.4(100.0)

(注) ( )内は累積構成比

表-4 2トリップのパターン

パターン	構成比(X)
1. 通勤→帰宅1	33.4(33.4)
2. 通学→帰宅1	32.2(65.6)
3. 私用1→帰宅2	22.0(87.6)
4. 私用2→帰宅2	6.7(94.3)
5. 業務1→帰宅2	3.1(97.4)
6. 業務2→帰宅2	1.2(98.6)
7. 帰宅1→業務1	0.4(99.0)
8. 業務1→私用2	0.1(99.1)
9. 業務1→業務1	0.1(99.2)
10. 通勤→業務1	0.1(99.3)

(注) ( )内は累積構成比

2トリップ以降、大きな比率を示すトリップパターンは居住地を起終点とする完結型トリップである。これは分析の中心に資料がP.T調査データであることを考えれば、当然の結果といえるが、生成トリップモデルを作成する際に居住地ベースで議論することは妥当性を保証するものも見られる。因みに、1トリップの起終点99%が居住地であることが調査データより確認されている。

表-5 3トリップのパターン

パターン	構成比(X)
1. 通勤→私用1→帰宅2	23.5(23.5)
2. 私用2→私用1→帰宅2	15.0(38.5)
3. 私用1→私用1→帰宅2	8.8(47.3)
4. 通学→私用1→帰宅2	7.7(55.0)
5. 通勤→私用2→帰宅2	6.9(61.9)
6. 通勤→業務1→帰宅2	5.3(67.2)
7. 私用2→私用2→帰宅2	4.7(71.9)
8. 通学→私用2→帰宅2	4.4(76.3)
9. 私用1→私用2→帰宅2	3.6(79.9)
10. 業務1→業務1→帰宅2	3.3(83.2)

(注) ( )内は累積構成比

2トリップ(56.7%)のパターンは、表-4に示すように、通勤→帰宅1が最も大きく、以下、通学→帰宅1、私用1→帰宅2の順である。すなわち、2トリップの大部分を構成するものは、「行く、帰る」という単純なパターンで全体が94.3%を占める。

3トリップ(6.9%)においては、通勤→私用1→帰宅2というパターンが最も大きく、私用2→私用1→帰宅2、この2つが、その他では北小は北小に大きな割合を示すものは見

当らない。また、表-5からわかるように、3トリップは2トリップの中間に衣甲上あるいは私用2を挟んだ109-ンが最も大半を占めるものがある。4トリップ(16.0%)の最上位109-ンは、通学→帰宅上→衣甲上→帰宅2で、13.2%となる。以下、衣甲上→帰宅2→私用1→帰宅2、通勤→業務上→業務上→帰宅1の順である。3トリップまでのトリップ内インとは異なる点は、業務トリップで中間に居る109-ンの出現である。すなわち、通勤後に業務トリップを行なう場合、通勤先を起終点とするトリップの存在が必要となるが、全干エイトから見れば、最低4トリップは要するようになる。また、4トリップ全体の特徴として、□→帰宅→□→帰宅、つまり一旦家に帰り、そこから再び行動を起す109-ンが為ることから分かる。

5トリップ(2.9%)の場合、通勤→業務上→業務上→業務上→帰宅1の109-ンが最も多く7.4%であるが、他の構成比はほぼ水増しである。この109-ンは、bトリップの構成とほぼ同様であり、このことから5トリップ以上aトリップ数では、業務トリップを中心としたトリップ内インが主であると判断できる。

以上概観したように、トリップ数大小によるトリップ内インの109-ンには明らかな差異が見られる。最も大きな差異は、4トリップ以下のトリップは居住地ベースが主であり、逆に5トリップ以上のトリップは従業ベースが主であるということである。この事実を踏まえれば、同質である各々のトリップ数を平均化して生成原単位モデルを作成するよりは、トリップ数ごとの対象生成トリップ分布モデルを構築する方がより本質的といえる。

#### 4. 生成トリップ分布モデル作成

4-1 要因分析 生成トリップ分布モデルを個人属性と絡めて細かくする必要がある。すなわち個人属性ごとの生成トリップ数との関係を明らかにする。すなわち、PT調査データを用いた要因分析を行う。表-9は、分析対象とした個人属性と各カテゴリーを示している。

まず、生成トリップ数(0~36)×個人属性による独立性検定を行う。独立性検定を実施した。独立性検定において、「生成トリップ数と個人属性は互いに独立である」という帰無仮説を棄却した場合、各個人属性は生成トリップ分布と関係があると判断できる。一方、分析において、「水準(カテゴリー)間で差異がない」という帰無仮説を棄却した場合、分析において各カテゴリー分類を妥当であると判断でき、逆に棄却しない場合は、カテゴリー分類を再直して、分析を繰り返すことになるが、カ

表-6 4トリップのパターン

パターン	構成比(%)
1. 通学→帰宅1→私用1→帰宅2	13.2 (43.2)
2. 私用1→帰宅2→私用1→帰宅2	7.8 (24.0)
3. 通勤→業務1→業務1→帰宅1	7.5 (28.5)
4. 通学→帰宅1→私用2→帰宅2	7.2 (35.7)
5. 私用2→帰宅2→私用1→帰宅2	6.4 (42.1)
6. 通勤→帰宅1→私用1→帰宅2	4.6 (46.7)
7. 私用1→帰宅2→私用2→帰宅2	4.4 (51.1)
8. 通勤→私用1→業務1→帰宅1	4.2 (55.3)
9. 業務2→帰宅2→業務2→帰宅2	4.2 (59.5)
10. 通勤→帰宅1→私用2→帰宅2	2.6 (62.1)
11. 私用2→帰宅2→私用2→帰宅2	2.5 (64.6)
12. 業務1→帰宅2→業務1→帰宅2	1.7 (66.3)
13. 通勤→私用2→業務1→帰宅1	1.7 (68.0)

(注) ( )内は累積構成比

表-7 5トリップのパターン

パターン	構成比(%)
1. 通勤→業務1→業務1→業務1→帰宅1	7.4 (7.4)
2. 通勤→業務1→業務1→私用1→帰宅2	3.7 (11.1)
3. 通勤→業務1→業務1→業務1→帰宅2	2.9 (14.0)
4. 通勤→私用1→業務1→私用1→帰宅2	2.9 (16.9)
5. 業務1→業務1→業務1→業務1→帰宅2	2.9 (19.8)
6. 私用2→私用1→帰宅2→私用1→帰宅2	2.7 (22.5)
7. 私用2→私用1→帰宅2→私用2→帰宅2	2.2 (24.7)
8. 通学→帰宅1→私用1→私用1→帰宅2	1.8 (26.5)
9. 通学→帰宅1→私用2→私用1→帰宅2	1.7 (28.2)
10. 私用1→私用1→帰宅2→私用1→帰宅2	1.5 (29.7)
11. 私用2→帰宅2→私用2→私用1→帰宅2	1.5 (31.2)
12. 私用2→帰宅2→帰宅2→私用1→帰宅2	1.4 (32.6)
13. 通勤→業務1→業務1→私用2→帰宅2	1.3 (33.9)

(注) ( )内は累積構成比

表-8 6トリップのパターン

パターン	構成比(%)
1. 通勤→業務1→業務1→業務1→業務1→帰宅1	10.4 (10.4)
2. 私用1→帰宅2→私用1→帰宅2→私用1→帰宅2	3.0 (13.4)
3. 私用2→帰宅2→私用1→帰宅2→私用2→帰宅2	2.9 (16.3)
4. 通学→帰宅1→私用1→帰宅2→私用1→帰宅2	2.9 (19.2)
5. 通学→帰宅1→私用1→帰宅2→私用2→帰宅2	2.2 (21.4)
6. 私用2→帰宅2→私用1→帰宅2→私用1→帰宅2	2.2 (23.6)
7. 私用2→帰宅2→私用2→帰宅2→私用1→帰宅2	2.0 (25.6)
8. 業務1→業務1→業務1→業務1→業務1→帰宅2	1.8 (27.4)
9. 私用1→帰宅2→私用1→帰宅2→私用2→帰宅2	1.5 (28.9)
10. 私用1→帰宅2→私用2→帰宅2→私用1→帰宅2	1.5 (30.4)
11. 私用2→帰宅2→私用2→帰宅2→私用2→帰宅2	1.3 (31.7)
12. 業務2→帰宅2→業務2→帰宅2→私用1→帰宅2	1.3 (33.0)
13. 通学→帰宅1→私用2→帰宅2→私用2→帰宅2	1.1 (34.1)
14. 通勤→業務1→業務1→私用1→業務1→帰宅1	1.1 (35.2)

(注) ( )内は累積構成比

表-9 個人属性とそのカテゴリー

属性	カテゴリー	属性	カテゴリー
性別	1. 男性	職業	1. 専門・事務・技術職
	2. 女性		2. 管理職
年	1. 5-9歳		3. 販売従事者
	2. 10-14		4. 農林漁業作業従事者
	3. 15-19		5. 運輸・通信従事者
	4. 20-24		6. 生産工程労働者
	5. 25-29		7. サービス業従事者
	6. 30-34		8. 学生(高校生以上)
	7. 35-39		9. 生徒・児童
	8. 40-44		10. 主婦
	9. 45-49		11. その他
	10. 50-54		
11. 55-59			
年齢	12. 60-64	産	1. 農林漁業
	13. 65-69		2. 鉱業・建設業
	14. 70-74		3. 製造業
	15. 75以上		4. 卸売・小売業
			5. 金融・保険・不動産業
免許	1. 保有	業	6. 運輸・通信業
	2. 非保有		7. 電気・ガス・水道業
車	1. 保有	8. サービス業	
	2. 非保有	9. 公務	
			10. その他

表-10 独立性検定および分散分析の結果

個人属性	独立性検定	分散分析
性別	独立でない	1%有意
年齢	独立でない	1%有意
職業	独立でない	1%有意
産業	独立でない	1%有意
免許	独立でない	無 意
車	独立でない	無 意

カテゴリ分類の上で同じし可能なことは、その属性は生成トリップ分布に属するとの判断によってもよいであろう。以上の判定規準を各々の分析結果を示している表-10に通甲すれば、独立性検定からはすべての個人属性が生成トリップ分布に属していると考えられるが、分散分析からは免許の有無と車の有無が無意味であるといえる。両者のカテゴリ分類が表-9に示されたもの以外については、免許保有・非保有および車保有・非保有は、生成トリップ分布の説明要因として強いと見做る必要はないと推察される。

以上は、個人属性を単独で考えた場合の議論であるが、必ずしも各説明要因が相互に独立に生成トリップ分布に関連するとは限らない。すなわち、要因同士の影響を合せて生成トリップ分布に属することも十分考えられる。そこで、要因間の関係度を調べたため、個人属性相互のクロスによる分散分析および独立性検定を実施した。この場合、分析の対象となるものが分布形であるので、そのまゝでは分析が不可能であり、何れかの工夫が必要となる。ここでは先を統一して、分布形を有するいくつかの統計量を分布を代表させ、これらによる分析を行う。その結果を総合的に判断することにより、要因間の関係を把握することにした。実際に用いた統計量は、平均値、標準偏差、変動係数および最大トリップ数 $n$ である。なお、個人属性は免許の有無と車の有無を除く4つとし、判定規準は先と同じものを印した。分析の結果について述べれば、平均値、標準偏差と変動係数に関し、すべてのペアが相互に独立であると判断されたが、最大トリップ数は年齢×職業、年齢×産業×職業×産業が独立であると判明した。しかし、これらの非独立性の度合は小さく、また最大トリップ数 $n$ 果ては役割は平均値や標準偏差などに比べて小さいものであると考えられるから、敢えて年齢×職業などでもクロス属性として処理する必要はないといえる。したがって、先の分析で選定された個人属性すなわち性別、年齢、職業、産業を単独でモデルの説明要因に用いると判断される。なお、これらのうち、職業と産業は互いに重複する部分が多く、若干の検討の結果、職業のみで十分であることがわかっていっている<sup>2)</sup>、本研究では産業を説明要因から除外することとし、結局、性別、年齢および職業の3要因を用いて、生成トリップ分布モデルを作成するものとする。

#### 4-2 分布モデルの形状

生成トリップ分布モデルは、前述のごとく、生成トリップ数生起確率を扱うモデルであるから、目的変数を確率値とし、その説明要因に個人属性を用い、第2節の検討を踏まえ、特に地域性は考えないものとする。このとき、生成トリップ分布に属し、以下の式形を仮定する。

$$P = f(S, A, O)$$

$P$  = 生成トリップ数生起確率分布 =  $[p_0, p_1, \dots, p_n]^T$ ,  $S$  = 性別による生成トリップ数生起確率分布 =  $[a_0, a_1, \dots, a_n]^T$ ,  $A$  = 年齢による生成トリップ数生起確率分布 =  $[a_0, a_1, \dots, a_n]^T$ ,  $O$  = 職業による生成トリップ数生起確率分布 =  $[o_0, o_1, \dots, o_n]^T$   
 $n$  = 最大生成トリップ数,  $f(\cdot)$  = スカラー関数。

すなわち、各個人属性ごとの生成トリップ数生起確率を用いたモデルを構築するものであるが、問題は $S, A, O$ をどのような表現するものである。先に検討したように、分布が偶数トリップ分布と奇数トリップ分布とに分けられると、トリップの集中度が高いことなどから、その理論分布を定義することは困難である。そこで、個人属性のカテゴリ別に算出された生成トリップ数生起確率をカテゴリ別個の $n$ を定義し、これにカテゴリ構成比を用いて、次のように表現するものとする。

$$\begin{cases} a_0 \\ a_1 \\ \vdots \\ a_n \end{cases} = \begin{bmatrix} a_{01} & a_{02} \\ a_{11} & a_{12} \\ \vdots & \vdots \\ a_{n1} & a_{n2} \end{bmatrix} \begin{cases} w_1^a \\ \vdots \\ w_n^a \end{cases}, \quad \begin{cases} a_0 \\ a_1 \\ \vdots \\ a_n \end{cases} = \begin{bmatrix} b_{01} & \dots & b_{0,15} \\ b_{11} & & b_{1,15} \\ \vdots & & \vdots \\ b_{n1} & \dots & b_{n,15} \end{bmatrix} \begin{cases} w_1^b \\ w_2^b \\ \vdots \\ w_{15}^b \end{cases}, \quad \begin{cases} o_0 \\ o_1 \\ \vdots \\ o_n \end{cases} = \begin{bmatrix} c_{01} & \dots & c_{0,11} \\ c_{11} & & c_{1,11} \\ \vdots & & \vdots \\ c_{n1} & \dots & c_{n,11} \end{bmatrix} \begin{cases} w_1^c \\ w_2^c \\ \vdots \\ w_{11}^c \end{cases}$$

ここで、 $[a_{ij}]$ ,  $[b_{ik}]$ ,  $[c_{il}]$ : 性別、年齢、職業の各カテゴリごとの生成トリップ数生起確率分布,  $\{w_j^a\}$ ,  $\{w_k^b\}$ ,  $\{w_l^c\}$ : 性別、年齢、職業の各カテゴリの人口構成比。

上式は、個人属性による生成トリップ数生起確率式、カテゴリ別生成トリップ数生起確率をカテゴリ構成比で重

が平均するこゝより、得られるこゝを意味している。S, A, Oは、社会・経済状況を反映したものであるから、これらの状況や将来において変化すれば、これに応じて当然S, A, Oも変化する。上式に従えば、これらの変化は、 $[A_{ij}]$ ,  $[b_{ik}]$ ,  $[C_{il}]$ の変化と $\{W_i^1\}$ ,  $\{W_i^2\}$ ,  $\{W_i^3\}$ の変化とを分解できる。しかし、 $[A_{ij}]$ 等は、個人の交通行動にもとづいて与えられるものであり、個人の行動パターンはこれほど大きく変動しないと思われる。したがって $[A_{ij}]$ 等々の変化は、 $\{W_i^1\}$ 等々の変化と比べ、無視してよいと判断できよう。つまり、本モデルでは、 $[A_{ij}]$ ,  $[b_{ik}]$ ,  $[C_{il}]$ にはPT調査の結果から得られる値を与え、 $\{W_i^1\}$ ,  $\{W_i^2\}$ ,  $\{W_i^3\}$ の代わりに将来的に変化するを考へるものである。よって、モデルへの外生的入力値は、 $\{W_i^1\}$ ,  $\{W_i^2\}$ ,  $\{W_i^3\}$ となり、これらに性別、年齢および職業の各カテゴリー・人口構成比を考へれば、提案モデルは人口指標によつて社会・経済状況を反映させたモデルといえる。

関数式の具体的な形状は、種々のものを仮定し、これらによる計算結果を見せたり、決めるべきであるが、ここでは乗法モデルを仮定する。すなわち、次式の本研究において提案するモデルである。

$$(6) \begin{cases} P_0 \\ P_1 \\ \vdots \\ P_n \end{cases} = \left( \begin{bmatrix} a_{01} & a_{02} \\ a_{11} & a_{12} \\ \vdots & \vdots \\ a_{n1} & a_{n2} \end{bmatrix} \begin{Bmatrix} W_1^1 \\ W_1^2 \\ W_1^3 \end{Bmatrix} \right)^\alpha \cdot \left( \begin{bmatrix} b_{01} & \dots & b_{0,15} \\ b_{11} & & b_{1,15} \\ \vdots & & \vdots \\ b_{n1} & \dots & b_{n,15} \end{bmatrix} \begin{Bmatrix} W_1^1 \\ W_1^2 \\ \vdots \\ W_1^{15} \end{Bmatrix} \right)^\beta \cdot \left( \begin{bmatrix} c_{01} & \dots & c_{0n} \\ c_{11} & & c_{1n} \\ \vdots & & \vdots \\ c_{n1} & \dots & c_{nn} \end{bmatrix} \begin{Bmatrix} W_1^1 \\ W_1^2 \\ \vdots \\ W_1^n \end{Bmatrix} \right)^\gamma$$

ここで、 $\alpha, \beta, \gamma$ は10桁×7である。上式中に定数項のない $\alpha$ は、説明変数および目的変数とも無次元量であるこゝを考へたからであり、またその意味においては、 $\alpha, \beta, \gamma$ は互いに独立ではなく、 $\alpha + \beta + \gamma = 1$ が成立しなければならない。すなわち、10桁×7の $\alpha, \beta, \gamma$ は、各々の説明要因の生成力、7分布に対する寄与度を表すものと解釈される。

残りの問題は、上述の10桁×7の $\alpha, \beta, \gamma$ をいかに設定するかにある。この方法として、以下に述べる2つを考へられる。第1の方法は、(6)式と同様モデルとしてみなすものがあり、 $\alpha + \beta + \gamma = 1$ なる制約条件下において最小乗法を適用し、 $\alpha, \beta, \gamma$ を推定する方法である。第2の方法は、 $\alpha, \beta, \gamma$ が寄与度であるこゝを重視するもので、何等かの分布を通して外生的に値を設定する方法である。これには、分散分析における分散比あるいは寄与率なども用いるこゝを考へられる。

4-3 適用例 提案モデルを昭和47年北部九州圏パーソナル・7調査データに適用し、モデルの適合度を検討を行なう。なお、この場合 $n$ (最大生成力、7数)は、累積相対度数が99.99%の13となり、確率は百分率表示とした。

(1)  $\alpha, \beta, \gamma$ を最小乗法によつて推定する場合(モデル1) (6)式のような乗法モデルの場合、両辺を対数と取り、対数線型とした上で、最小乗法を適用するものが一般的であるが、本モデルの説明要因は互いに相関があるから、この方法は多重共線性を生じる恐れがある。そこで、ここでは、ラプラス法・未定乗数法を用い、非線型最小化問題を解いて、 $\alpha, \beta, \gamma$ を推定した。表一に、この計算結果を示したものである。まず、係数値を見ると、 $\alpha$ の値が若干大きめではあるが、 $\alpha, \beta, \gamma$ はほぼ1/3とみえるこゝができる。すなわち、3つの個人属性は生成力、7分布に対する重みが同等と判断される。次に適合度について見れば、定性的には $R=0.999$ 、定量的には $R.M.S.=0.195$ 、 $\chi^2=0.046$ と両面において申し分ない結果を得られ、モデル化したこゝによる精度の劣化は小さいといえる。

(2)  $\alpha, \beta, \gamma$ を外生的に与える場合(モデル2) ここでは、分散分析における分散比を重み係数とする方法と取りあげた。すなわち、ある個人属性の分散比が大きければ、これだけ水準(カテゴリ)

表-11 モデル1の係数値と適合度

係 数 値			適 合 度		
$\alpha$	$\beta$	$\gamma$	R	R.M.S.	$\chi^2$
0.340	0.332	0.328	0.999	0.195	0.046
トリップ	現実値	推計値	残 差	相対誤差	
0	9.047	8.453	0.594	6.370	
1	0.951	0.945	0.006	0.670	
2	56.891	57.298	-0.407	-0.716	
3	6.964	7.036	-0.072	-1.035	
4	16.002	16.096	-0.094	-0.588	
5	2.940	2.954	-0.014	-0.488	
6	3.394	3.407	-0.013	-0.392	
7	1.246	1.244	0.002	0.171	
8	1.409	1.409	0.000	0.035	
9	0.382	0.381	0.001	0.364	
10	0.323	0.319	0.004	1.240	
11	0.205	0.205	0.000	0.178	
12	0.167	0.166	0.001	0.613	
13	0.078	0.078	0.000	0.437	
合計	99.999	99.990	0.009	0.009	

(注) 相対誤差=(現実値-推計値)/現実値 (X)

表-12 モデル2の係数値と適合度

係数値			適合度		
$\alpha$	$\beta$	$\gamma$	R	R.M.S.	$\chi^2$
0.621	0.172	0.207	0.999	0.133	0.019
トリップ	現実値	推計値	誤差	相対誤差	
0	3,047	8,662	0.385	4.250	
1	0,951	0,942	0.009	0.917	
2	56,891	57,198	-0.307	-0.539	
3	6,964	7,006	-0.042	-0.599	
4	16,002	16,062	-0.060	-0.373	
5	2,940	2,942	-0.002	-0.083	
6	3,394	3,394	0.000	0.005	
7	1,246	1,238	0.008	0.605	
8	1,409	1,402	0.007	0.493	
9	0,382	0,378	0.004	0.919	
10	0,323	0,318	0.005	1.401	
11	0,205	0,203	0.002	0.764	
12	0,167	0,165	0.002	1.141	
13	0,078	0,077	0.001	0.846	
合計	99,399	99,990	0.009	0.009	

(注) 相対誤差=(現実値-推計値)/現実値 (%)

間に有意な差があるとは考えられるから、 $\alpha$ の寄与度も大きいと考えられる。したがって、 $\alpha + \beta + \gamma = 1$ を満足するように各々の分散比を調整することにより、具体的に $\alpha, \beta, \gamma$ の値が得られる。 $\alpha$ の場合、今考慮している要因が3つであるので、3元配置法にもとづく分散比を用いると、最も合理的であると考えられるが、分布 $\alpha$ も $\alpha$ を扱わねばならず、通常、分散分析の逆行が困難である。そこで、本研究は、簡便的手法として単独の要因分析を仮定して生成トリップ×個人属性による分散分析の結果を用いることにした。 $\alpha$ の計算結果を示せば、表-12のとおりである。係数値を見れば、モデル1の結果より、 $\alpha, \beta, \gamma$ 間には明らかに差異がある。すなわち、 $\alpha$ の値が $\beta$ や $\gamma$ に比べて大きく、逆に $\beta$ が小さくなっている。この違いは、分散比という指標を通して表現された生成トリップ分布に対する影響度の差があるの解釈ができる。一方、モデル1と同様に適合度 $\alpha$ 上での精度も劣化は小さいといえる。

以上のように、両モデルとも精度の問題ないことが判明したが、強いていえば、R.M.S.,  $\chi^2$ も相対誤差からモデル2の方がよりよいモデルといえる。また、 $\alpha, \beta, \gamma$ の設定に関する考え方は、モデル1とモデル2とは異なり、前者は説明要因間の変動特性や被説明要因に対する影響力の兼ね合いをもとめて $\alpha, \beta, \gamma$ を推定するのに対し、後者は被説明要因に対する寄与度という点を重視し、外生的に $\alpha, \beta, \gamma$ を与えるものがあるから、モデル2の方がより明確な意味を有するといえる。さらに、モデル1では、非線形連立方程式を解くという煩雑なキャリブレーション過程があるが、モデル2では、要因抽出過程における要因分析等の結果を流用することにより計算量を著しく低減できる。以上の点を勘案して、本研究はモデル2を推奨するものがある。

## 6. おわりに

生成交通量モデルは、生成トリップ数の生成確率を与える生成トリップ分布として処理されることを原理とし、 $\alpha$ の具体的な組立としては、個人属性を基本にオバきであるというモデル作成上の方針をとって、乗法モデル型の生成トリップ分布モデルを構築した。また、提案モデルを北部九州圏に適用したところ、精度 $\alpha$ 上での問題ないことが、判明したが、 $\alpha$ の際、モデルパラメータの設定は、これから寄与度と判断し、分散分析の結果を用いることが十分であるといえる。

## 参考文献

- 1) 河野・橋本:「選択構造を考慮した非集計交通需要予測モデルについて」, 第5回土木計画学研究発表会講演集, 1983.
- 2) 北部九州圏心一ソフトウェア調査報告書・現況解析編I, 1973.
- 3) 橋本・河野・高橋:「カリブレーション単位に基づく交通生成原単位モデル」, 九州大学工学集報, Vol.56, No.6, 1983.